

# Study on Optimal CT Image Segmentation for Diagnosis of Mycoplasma Pneumonia In Children\*

论著

## CT图像最佳图谱分割 诊断小儿支原体肺炎的 临床研究\*

于茂敏<sup>1</sup> 林晓杰<sup>1</sup> 王翠霞<sup>1</sup>崔凯洁<sup>2,\*</sup>1.青岛市第八人民医院儿科  
(山东 青岛 266000)2.青岛市妇女儿童医院NICU  
(山东 青岛 266000)

**【摘要】目的** 探讨基于最佳图谱分割算法(OASA)的CT成像技术在小儿支原体肺炎(MP)诊断中的临床应用价值。**方法** 选择88例MP患儿，根据诊断方法分为A组(基于OASA的CT影像)和B组(胸部X线片)。

比较两组儿童的发现率、图像特征表现和图像质量满意度。**结果** A组和B组的检出率分别为97.73%和95.46%，差异无统计学意义( $P>0.05$ )。A组儿童胸腔积液的发现率明显优于X线组，而增加的支气管血管影的发现率明显低于X线组( $P<0.05$ )。结节影、片状影、腺泡实质影、间质浸润影在两组间比较差异无统计学意义( $P>0.05$ )。CT图像质量满意度(98.50%)明显高于X线(79.46%)( $P<0.05$ )。**结论** 基于OASA的CT图像可用于儿童MP的临床诊断，且CT图像优于胸部X线片。

**【关键词】** 最佳图谱分割算法；CT成像技术；小儿支原体肺炎

【中图分类号】 R375+.2

【文献标识码】 A

【基金项目】 山东省2023年度深化医改研究课题  
(GGY2023076)

DOI:10.3969/j.issn.1672-5131.2025.02.029

YU Mao-min<sup>1</sup>, LIN Xiao-jie<sup>1</sup>, Wang Cui-xia<sup>1</sup>, Cui Kai-jie<sup>2,\*</sup>.

1. Department of Pediatrics, Qingdao Eighth People's Hospital, Qingdao 266000, Shandong Province, China

2. NICU of Qingdao Women and Children's Hospital, Qingdao 266000, Shandong Province, China

### ABSTRACT

**Objective** To investigate the clinical application value of CT imaging based on optimal map segmentation algorithm (OASA) in the diagnosis of mycoplasma pneumonia (MP) in children. **Methods** 88 children with MP were selected and divided into group A (OASA based CT image) and group B (chest X-ray) according to the diagnosis method. The discovery rate, image feature performance and image quality satisfaction of the two groups of children were compared. **Results** The detection rates of group A and group B were 97.73% and 95.46%, respectively, with no statistical significance ( $P>0.05$ ). The detection rate of pleural effusion in group A was significantly higher than that in X-ray group, while the detection rate of increased bronchial vascular shadow was significantly lower than that in X-ray group ( $P<0.05$ ). There was no significant difference in nodular shadow, lamellar shadow, acinar parenchymal shadow and interstitial infiltrating shadow between the two groups ( $P>0.05$ ). The satisfaction of CT image quality (98.50%) was significantly higher than that of X-ray (79.46%)( $P<0.05$ ). **Conclusion** CT images based on OASA can be used in the clinical diagnosis of MP in children, and CT images are superior to chest radiographs.

**Keywords:** Optimal Map Segmentation Algorithm; CT Imaging Technology; Mycoplasma Pneumonia in Children

CT和X线是诊断肺炎支原体(MP)的有效方法，广泛应用于儿童MP<sup>[1]</sup>。与传统的X线相比，CT成像技术具有扫描时间短、成像分辨率高、解剖细节高等优点<sup>[2]</sup>。它可以观察复杂的结构，发现微小的异常情况。CT成像是目前检测肺部疾病和细微结构变化的首选方法。随着CT技术在医学领域的广泛应用，图像分割已成为医学图像处理领域的研究热点<sup>[3]</sup>。医学图像分割是对于准确的疾病定位、3D可视化和后续治疗至关重要。由于肺组织解剖结构的个体差异，肺裂也存在不完整或低对比度，增加了肺分割的难度<sup>[4]</sup>。因此，研究肺叶分割及其算法性能对于肺部疾病的临床诊断具有重要意义。在对肺解剖结构进行分析后，结合肺裂的兴趣区，利用优化的Atlas图寻找肺裂的急性位置<sup>[5]</sup>。本研究提出了基于OASA的CT图像处理技术，探讨MP在以OASA为基础的CT影像技术诊断小儿肺炎中的临床应用价值，并与X线诊断结果进行比较。希望为儿童MP的临床诊断和后续治疗提供理论依据。

## 1 资料与方法

**1.1 研究资料** 选择本院2023年1月至2023年12月收治的肺炎支原体患儿88例为研究对象。男性47人，女性41人。儿童年龄6个月~12岁，平均4.29±1.26岁。根据不同的诊断方法分为CT组(A组)和X线组(B组)，每组44例。研究已经得到医院伦理委员会的批准，参与其中的儿童及其家人已经知情同意。

纳入标准如下：符合儿科支原体肺炎诊断标准；患者没有先天性疾病；患者及其家人签署了知情同意书；患者没有肝、肾、心、肺的异常；患者有完整的临床资料。排除标准如下：慢性肺部疾病、哮喘等患者；精神或智力残疾患者；免疫功能异常患者；以及严重传染病患者。A组男24例，女20例，平均年龄4.47±1.26岁，发病时间2.28±0.36(D)。B组男23例，女21例，平均年龄4.38±1.18岁，起病时间2.32±0.25(D)。A、B两组在性别、年龄、发病时间等方面差异无统计学意义( $P>0.05$ )。

采用OASA对胸部CT图像进行分割，并用AROI、Mean、Max、SD等指标对左上肺(ULL)、左下肺(LLL)、右上肺(URL)、右中肺(MRL)、右下肺(LRL)6个部分的分割性能进行了定量评价。本文提出的OASA方法对CT图像中肺叶区域的定位更加准确和稳定，各项性能指标均优于Elastix和NeftReg分割方法。

**1.2 研究方法** A组采用16层螺旋CT机进行CT检查。患儿仰卧位。扫描范围从肺尖到肺底。扫描时间1 S，电压120kV，电流100~150 mA，层厚5mm，层距5mm，螺距1.2。重建冠状面和矢状面的焦点区域。扫描后以碘海醇为造影剂，注射速度1.5mL/S，观察病变在肺内的分布情况以及肺阴影和肺间质的影像特点。B组患儿行胸部X线片检查，用X光机进行胸片检查儿童胸部的阳性图像，按常规方式扫描胸部。扫描参数设置为电压65千伏，电流0.6毫安。观察病变在肺内的分布，观察病变的形态特征、密度以及肺间充质和胸膜的形态特征<sup>[6-7]</sup>。

首先，根据CT图像提取肺部区域并进行定位。利用最优阈值方法对CT图像中的肺

【第一作者】于茂敏，女，主治医师，主要研究方向：儿科疾病。E-mail: depon89@126.com

【通讯作者】崔凯洁，女，主治医师，主要研究方向：儿科疾病。E-mail: fengzhi860809@163.com

部区域进行识别和提取，进而提取出感兴趣的肺部区域。对肺裂区域进行初始化，主要分为三个步骤<sup>[2,4]</sup>。第一步是肺气管靶区的提取。第二步是肺血管的目标区域分割。第三步是肺裂区距离图的计算和区域初始化。分割方案主要用于搜索与待测扫描图像最相似的解剖结构的图像，并根据配准-分割技术搜索脑叶裂隙的位置，从而完成对叶的准确分割。寻找与肺裂的位置和特征最接近的模板图像，进行配准变换以获得最佳映射变换参数。比较两组患者的年龄、性别、发病时间等临床资料。比较两组病变(左肺上叶、左肺下叶、右肺上叶、右肺中叶、右肺下叶)的分布、发现率及影像特点，满意度。对比分析CT、X线片检查图像质量。

**1.3 统计学方法** 采用SPSS 20.0统计软件进行统计分析。计量资料以均数±标准差( $\bar{x} \pm s$ )表示，比较分析采用t检验；计数资料以百分比(%)表示，组间比较分析采用 $\chi^2$ 检验。如果 $P < 0.05$ ，则差异有统计学意义。

## 2 结 果

**2.1 发现率比较结果** 具体如图1所示，采用CT和X线片对两组MP进行诊断，A组检出左上叶13例，左下叶15例，左肺8例，右上叶4例，右中叶4例，右下叶3例。B组左上叶12例，左下叶14例，右上叶9例，右中叶4例，右下叶3例。A组儿童的发现率为97.73%，B组儿童的发现率为95.46%，两组儿童MP的发现率差异无统计学意义( $P > 0.05$ )。

**2.2 成像特征的对比度** 具体如图2所示，A组MP患儿行CT检查，部分患儿影像学图像如左图所示。主要表现为肺实质影、大面积实变或斑片状、胸腔积液等。B组患者行X线检查部分儿童的影像如右图所示，主要表现为斑片状阴影、明显增大的肺门部阴影和腺泡实质阴影。

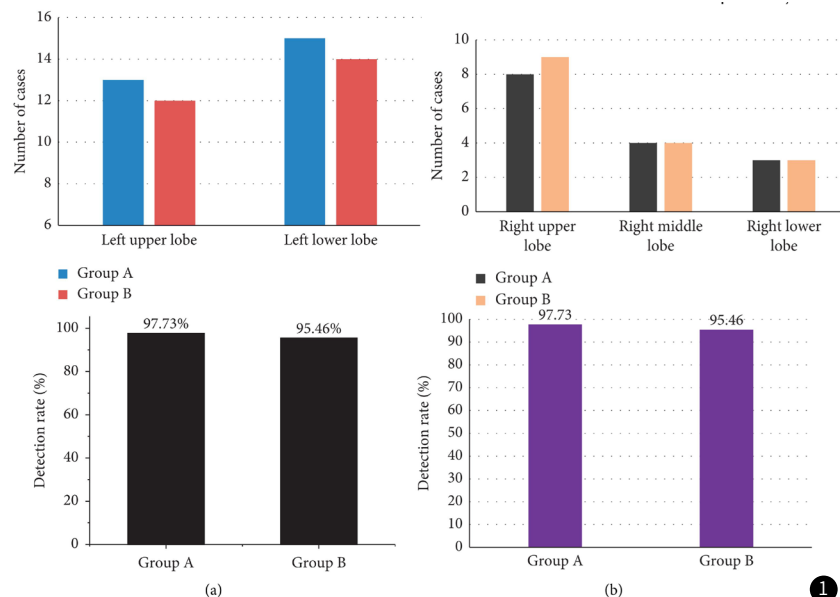


图1 首排：两组MP患儿左右肺检出病例对比；a+b：两组MP患儿总发现率的比较。

**2.3 成像特征的对比度** 具体如图3所示，比较两组MP患儿的影像表现。斑片状阴影占22.05%，结节占14.76%。腺泡实质阴影占26.98%，间质浸润性病变占13.26%。支气管血管影增多占9.54%，胸腔积液占22.03%。B组斑片状阴影占24.45%，结节占12.37%。腺泡实质阴影占24.84%，间质浸润性病变占13.26%。

支气管血管影增多占28.32%，胸腔积液占4.93%。A组胸腔积液发现率明显优于B组( $P < 0.05$ )。A组支气管血管影增多的检出率明显低于B组( $P < 0.05$ )。结节状影、片状影、腺泡状实质性影、间质浸润性病变两组间差异无统计学意义( $P > 0.05$ )。

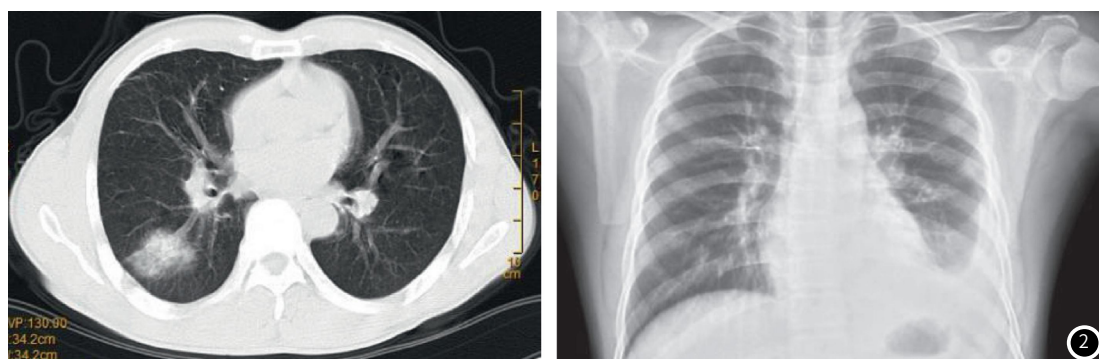


图2 左图：MP儿童胸部CT图像；右图：MP儿童的X线影像。

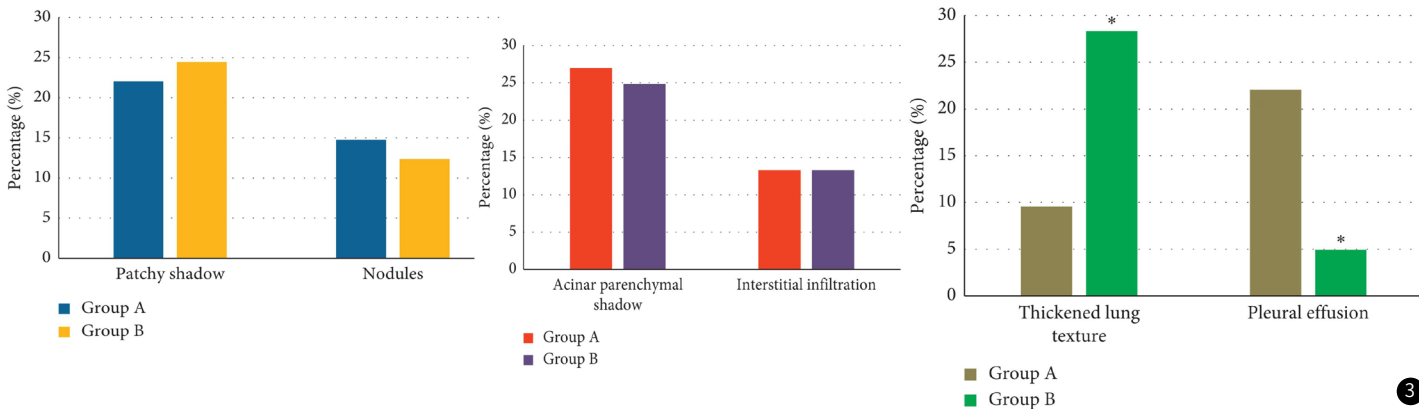


图3 左：两组儿童结节和斑片状阴影百分率的对比；中：两组儿童腺泡实质阴影和间质浸润率的比较；右：两组患儿肺血管阴影、胸腔积液增加百分率的比较(\*), 与A组有显著相关性( $P<0.05$ )。

### 3 讨论

肺炎通常由呼吸道病毒引起，主要发生在儿童时期。肺炎支原体是社区获得性呼吸道感染的常见原因，占5岁以上儿童肺炎病例的40%。CT成像技术和X线是临幊上常见的肺炎MP影像诊断技术<sup>[8]</sup>。由于其操作方便、成本低、诊断准确率高，被患者和医务工作者所接受<sup>[9]</sup>。为了改善和优化医学CT图像的分割效果，本文采用了OASA算法<sup>[10]</sup>。以往的表明<sup>[4,10]</sup>，相对于Elastix和NeftReg分割方法，OASA对CT图像的分割结果具有更高的精度，平均、最大、AROI和SD的指标值均较好，表明OASA可以提高医学CT图像分割的精度。

采用CT影像技术和胸部X线片对儿童肺炎MP进行诊断，发现A组儿童肺炎MP的发现率为B组儿童总有效率为95.46%。两者差异无统计学意义( $P>0.05$ )，表明CT和X线均可用于小儿MP的诊断，具有较高的诊断价值<sup>[11]</sup>。CT主要表现为肺实质阴影，可见大片实变或片状阴影，可见胸腔积液。X线影像主要表现为斑片状阴影、肺门阴影和腺泡实质阴影<sup>[12]</sup>。A组胸腔积液的发现率明显高于X线组，而增加的支气管血管影的发现率明显低于X线组( $P<0.05$ )。结节影、片状影、腺泡实质影、间质浸润在两组间差异无统计学意义( $P>0.05$ )。提示CT和X线均能显示MP的特异性影像表现，CT对胸腔积液的诊断更为敏感，为临床治疗提供了可靠的依据，结果与相关研究结果一致<sup>[13-14]</sup>。医师对CT图像质量的满意度(98.50%)高于X线(79.46%)， $P<0.05$ 。综合以上结果，CT影像技术对MP患儿的诊断更为准确<sup>[15]</sup>。在临幊诊断中，肺炎支原体肺炎的临床症状与病毒感染相关性高，结合其他实验室指标综合检测势在必行<sup>[16]</sup>。此外，CT和X线均可用于儿童MP的诊断，但X线剂量较低，更适合儿童<sup>[17]</sup>。因此，在实际诊断中，应根据患儿病情选择合适的诊断方法<sup>[18]</sup>。一般可通过X线和实验室指标作出诊断，必要时应进行CT检查以提高发现率<sup>[19]</sup>。研究发现<sup>[20]</sup>，与传统的分割算法相比，OASA算法提高了CT图像的分割效果。X线和CT均可诊断MP，但CT诊断更准确，图像更清晰。然而，该研究还存在一些不足之处。例如，样本数量是有限的，并且没有未经该算法处理的CT图像控制<sup>[21]</sup>。今后应考虑增加样本数量，使用其他分割算法对CT图像进行优化，以进行诊断效果的对比分析。

综上所述，采用OASA对CT图像进行处理，并应用于儿科MP的临幊诊断，可为儿童MP的影像诊断和后续治疗提供参考。

### 参考文献

- [1] Huang X, Gu H, Wu R, et al. Chest imaging classification in mycoplasma pneumoniae pneumonia is associated with its clinical features and outcomes [J]. Respir Med, 2024, 221: 107480.
- [2] 王思思, 姜兵. 肺炎支原体肺炎MSCT三维重建的临幊应用及征象分析 [J]. 中国CT和MRI杂志, 2025, 23 (1): 70-71.
- [3] Luo Y, Dai J, Tang G, et al. Development and validation of a simple-to-use nomogram for predicting the delayed radiographic recovery in children with mycoplasma pneumoniae pneumonia complicated with atelectasis [J]. J. J. Investigig Med, 2023, 71 (7): 722-729.
- [4] 冀少华, 李春敏, 宋晨, 等. X线联合CT在小儿支原体肺炎诊断中的应用及影像特点分析 [J]. 中国CT和MRI杂志, 2024, 22 (10): 59-61.
- [5] Nunez-Paucar H, Coll-Vela L E, Pena-Coello C, et al. Pulmonary embolism in an adolescent with COVID-19 pneumonia [J]. Bol Med Hosp Infant Mex, 2023, 80 (Supl 1): 33-39.
- [6] Carrard J, Bacher S, Rochat-Guignard I, et al. Necrotizing pneumonia in children: chest computed tomography vs. lung ultrasound [J]. Front Pediatr, 2022, 10: 898402.
- [7] He Y, Liu P, Xie L, et al. Construction and verification of a predictive model for risk factors in children with severe adenoviral pneumonia [J]. Front Pediatr, 2022, 10: 874822.
- [8] Kobayashi H, Takeuchi S, Torii Y, et al. Time course of skin rash, computed tomography findings, and viral load in a rheumatoid arthritis patient with severe varicella pneumonia [J]. IDCases, 2023, 33: e1866.
- [9] Wang D, Zhao J, Zhang R, et al. The value of CT radiomic in differentiating mycoplasma pneumoniae pneumonia from streptococcus pneumoniae pneumonia with similar consolidation in children under 5 years [J]. Front Pediatr, 2022, 10: 953399.
- [10] Perez E L, Garcia C M, Cerdá B J, et al. Thoracoscopic pneumonectomy in a 4 year-old-child with destroyed lung following viral pneumonia [J]. Cir Pediatr, 2023, 36 (3): 140-143.
- [11] Zhang H, Sun C, Yu Z. Effect of azithromycin sequential therapy combined with budesonide nebulization on chest CT changes in children with mycoplasma pneumonia [J]. Minerva Gastroenterol (Torino), 2023, 69 (3): 447-449.
- [12] Wei Y, Zhang T, Ma Y, et al. Clinical evaluation of metagenomic next-generation sequencing for the detection of pathogens in BALF in severe community acquired pneumonia [J]. Ital J Pediatr, 2023, 49 (1): 25.
- [13] Liu J, He R, Zhang X, et al. Clinical features and "early" corticosteroid treatment outcome of pediatric mycoplasma pneumonia [J]. Front Cell Infect Microbiol, 2023, 13: 1135228.
- [14] Hakimi T, Mangal M, Ibrahim M A, et al. A challenging high-risk surgery for necrotizing pneumonia in a right bilobed lung [J]. BMC Pediatr, 2023, 23 (1): 170.
- [15] Yang S, Wu S, Xu J, et al. The effect of therapeutic bronchoalveolar lavage in combination with glucocorticoids on children with acute exogenous lipid pneumonia [J]. Clin Respir J, 2023, 17 (4): 255-262.
- [16] Li Y, Zhai Y, Lin Y, et al. Epidemiology of respiratory syncytial virus in hospitalized children with community-acquired pneumonia in Guangzhou: a 10-year study [J]. J Thorac Dis, 2023, 15 (3): 967-976.
- [17] Song S, Xu Y. A retrospective study of the clinical characteristics of 9 children with pulmonary embolism associated with mycoplasma pneumoniae pneumonia [J]. BMC Pediatr, 2023, 23 (1): 370.
- [18] Elfving K, Stromberg L G, Geravandi S, et al. Pneumococcal concentration and serotype distribution in preschool children with radiologically confirmed pneumonia compared to healthy controls prior to introduction of pneumococcal vaccination in Zanzibar: an observational study [J]. BMC Infect Dis, 2022, 22 (1): 925.
- [19] Wu X, Lu W, Wang T, et al. Optimization strategy for the early timing of bronchoalveolar lavage treatment for children with severe mycoplasma pneumoniae pneumonia [J]. BMC Infect Dis, 2023, 23 (1): 661.
- [20] Li F, Zhang Y, Shi P, et al. Mycoplasma pneumoniae and adenovirus coinfection cause pediatric severe community-acquired pneumonia [J]. Microbiol Spectr, 2022, 10 (2): e2622.
- [21] Mercanzin E, Bonaffini P A, Barletta A, et al. Pneumonia-related pneumatoceles in infants: CT assessment and image-guided treatment [J]. BJR Case Rep, 2022, 8 (2): 20210191.

(收稿日期: 2024-02-01)  
(校对编辑: 韩敏求)